

## 4 Aproximación Semiclásica

Antes de pasar al estudio de dicha aproximación recordemos algunos conceptos antes desarrollados que van a motivar la idea de desarrollar en potencias de  $\hbar$ . En la subsección 3.1 vimos que la acción en un sistema clásico tiene una diferencial

$$dS = \sum_i p_i dq_i - \mathcal{H}dt,$$

y para una dimensión y una partícula será

$$dS = p dx - \mathcal{H}dt,$$

y para un sistema estacionario (donde  $\mathcal{H}$  no depende explícitamente del tiempo) se conserva la energía

$$dS = \frac{\partial S}{\partial x} dx + \frac{\partial S}{\partial t} dt = \pm p dx - E dt \Rightarrow S = \pm \int p(x) dx - Et$$

donde  $p(x)$  sería la cantidad de movimiento de la partícula en un dado valor  $x$ , y tendremos  $\pm$  ya que la partícula puede ir hacia la derecha o la izquierda si fijamos a  $p(x) > 0$ . Si consideramos que  $E = p^2/2m + U(x)$  podemos despejar  $p(x) = \sqrt{2m(E - U(x))}$  y así tendremos

$$S(x, t) = \pm \int \sqrt{2m(E - U(x))} dx - Et,$$

donde finalmente la función de onda cuasiclásica será

$$\Psi(x, t) = A(x, t) e^{\frac{i}{\hbar} S(x, t)} = A(x) e^{\pm \frac{i}{\hbar} \int \sqrt{2m(E - U(x))} dx} e^{-\frac{i}{\hbar} Et}. \quad (73)$$

### 4.1 Desarrollo de la función de onda en potencias de $\hbar$

Volvamos ahora a la mecánica cuántica y veamos que es la aproximación semiclásica. Ya hemos visto anteriormente que si en la ecuación de Schrödinger independiente del tiempo para una partícula

$$\frac{\hbar^2}{2m} \nabla^2 \psi(\mathbf{r}) + (E - U(\mathbf{r})) \psi(\mathbf{r}) = 0, \quad (74)$$

reemplazamos la función de onda semiclásica  $\psi = Ae^{i/\hbar S}$  y tirando términos de orden  $\hbar^2$  podemos llegar a la ecuación de Hamilton-Jacobi. También sabemos que cuando la longitud de onda de de Broglie es pequeña frente

a las dimensiones características del problema, como lo son la longitud de onda de la luz frente a la separación de rendijas en una red de difracción, tenemos *un paso de óptica ondulatoria a geométrica*.

Vamos a trabajar en una dimensión por simplicidad . Si hago un cambio de variable en (74)  $\psi(x) = e^{(i/\hbar)u(x)}$  tendremos la ecuación para  $u(x)$

$$\begin{aligned} \frac{\hbar^2}{2m} \left[ \frac{i}{\hbar} e^{(i/\hbar)u(x)} u'(x) \right]' &= -(E - U(x)) e^{(i/\hbar)u(x)} \\ \frac{\hbar^2}{2m} \left[ \left( \frac{i}{\hbar} \right)^2 u'(x)^2 + \frac{i}{\hbar} u''(x) \right] e^{(i/\hbar)u(x)} &= -(E - U(x)) e^{(i/\hbar)u(x)} \\ \frac{(u'(x))^2}{2m} - \frac{i\hbar u''(x)}{2m} &= E - U(x), \end{aligned} \quad (75)$$

donde hemos factorizado  $e^{(i/\hbar)u(x)}$  que nunca es cero, y reacomodado la ecuación. Si ahora queremos *hacer un desarrollo de  $\psi(x)$  en potencias de  $\hbar$*  primeramente hagamos un desarrollo del exponente  $u(x)$  (que tiene las dimensiones de  $\hbar$ ) y luego de la exponencial. Consideremos

$$u(x) = u_0(x) + (\hbar/i)u_1(x) + (\hbar/i)^2 u_2(x) + \dots$$

en potencias de  $\hbar$ . Si consideramos la primera aproximación tendremos  $u(x) \approx u_0(x)$  y *tirando el términos que contienen a  $\hbar$*  ya que estamos considerando la aproximación a orden  $\hbar^0$  tendremos

$$\frac{(u'_0(x))^2}{2m} = E - U(x), \Rightarrow u_0(x) = \pm \int \sqrt{2m(E - U(x))} dx,$$

donde si consideramos que  $E = p^2/2m + U(x)$  podemos despejar  $p(x) = \sqrt{2m(E - U(x))} > 0$  que sería *la cantidad de movimiento de la partícula en un dado valor  $x$*  y por lo tanto

$$u_0(x) = \pm \int p(x) dx, \quad \psi(x) = e^{\frac{i}{\hbar} u_0(x)}, \quad (76)$$

que sería esperable ya que como hemos visto  $S = -Et \pm \int p(x) dx$  pero el término temporal ha sido factorizado en la ec. de Schrödinger para obtener la independiente del tiempo así que nos quedamos con el 2do.

Así obtendremos a orden  $\hbar^0$  en el desarrollo de  $u(x)$ , y también en  $\psi(x)$  pues si expandimos la exponencial  $e^{(i/\hbar)u} = 1 + (i/\hbar)u + \frac{1}{2}(i/\hbar)^2 u^2 + \dots$  el término de mayor orden es  $\hbar^0$  ya que después tenemos potencias negativas que no pueden despreciarse cuando  $\hbar \rightarrow 0$  obteniéndose

$$\begin{aligned} u_0(x) &= \pm \int p(x) dx = S + Et \equiv W(x), \\ \Rightarrow \psi(x) &= C_0 e^{-i/\hbar \int p(x) dx} + C'_0 e^{i/\hbar \int p(x) dx} \Rightarrow \psi(x) e^{-\frac{i}{\hbar} Et} \sim C e^{\frac{i}{\hbar} S(x,t)}. \end{aligned} \quad (77)$$

Para ver cuando es válida esta aproximación, notemos que el tirar el término con  $u''$  en (75) será válido cuando sea mucho menor que el primero es decir ( $u(x) \approx u_0(x)$ )

$$\left| \frac{\frac{i\hbar u''(x)}{2\pi}}{\frac{(u'(x))^2}{2\pi}} \right| = \left| \frac{d(\hbar/u'(x))}{dx} \right| = \left| \frac{d(2\pi\hbar/p(x))}{2\pi dx} \right| = \left| \frac{d\lambda(x)}{2\pi dx} \right| \ll 1, \quad (78)$$

que puede entenderse que  $|d\lambda|/\lambda \ll (2\pi/\lambda)dx = d\phi$  o sea que el cambio porcentual en la longitud de onda (debido al potencial presente) debe ser mucho menor que el cambio de fase en la onda entre  $x, x + dx$ , lo que significa que la aproximación es válida siempre y cuando *el cambio en la longitud de onda  $\Delta\lambda \ll 2\pi\lambda$  sea pequeño frente a distancias del mismo orden que la longitud misma.*

Otra forma de ver la condición es usar

$$\frac{dp(x)}{dx} = \frac{d\sqrt{2m(E - U(x))}}{dx} = -\frac{m(dU/dx)}{p(x)} = \frac{mF(x)}{p(x)}, \quad d(1/p)/dx = -(1/p^2)dp/dx,$$

y así la eq.(78) se escribe

$$\left| \frac{d(2\pi\hbar/p(x))}{2\pi dx} \right| = \left| \frac{-(1/p^2)\hbar m F(x)/p}{1} \right| = \frac{m\hbar |F(x)|}{p(x)^3} \ll 1, \quad (79)$$

lo que nos dice que *la aproximación cuasiclásica de este orden dejará de ser válida cuando el impulso es pequeño y  $\lambda = 2\pi\hbar/p \rightarrow \infty$ , o nulo como en los puntos retroceso donde  $p(x) = \sqrt{2m(E - U(x))} = 0$  porque allí la Ec.(79) no podrá cumplirse.*

Si ahora vamos al orden siguiente y consideramos que  $u(x) \approx u_0(x) + (\hbar/i)u_1(x)$  y reemplazamos en (75) tendremos que los términos a orden  $\hbar$  satisfacen

$$u'_0 u'_1 + (1/2)u''_0 = 0 \Rightarrow u'_1 = -(1/2)u''_0/u'_0 = -p'/2p = d/dx(\ln p(x))^{-1/2} \Rightarrow u_1(x) = \ln p(x)^{-1/2} \quad (80)$$

donde hemos usado que  $u_0(x) = \pm \int p(x)dx \Rightarrow u'_0 = \pm p$ ,  $u''_0 = \pm p'$  y de esta manera a partir de (75) y (80) en  $\psi(x) = e^{(i/\hbar)u(x)}$  obtendremos

$$\begin{aligned} \psi(x) &\approx C_1 e^{(i/\hbar) \int p(x)dx + \ln p(x)^{-1/2}} + C'_1 e^{-(i/\hbar) \int p(x)dx + \ln p(x)^{-1/2}} \\ \psi(x) &\approx \frac{C_1}{\sqrt{p(x)}} e^{(i/\hbar) \int p(x)dx} + \frac{C'_1}{\sqrt{p(x)}} e^{-(i/\hbar) \int p(x)dx}, O(\hbar) \end{aligned} \quad (81)$$

donde notamos que nuevamente no hace falta expandir la exponencial pues la potencia más alta será  $\hbar^0$  y luego las negativas.

Vemos aquí que se cumple la aproximación cuasiclásica

$$\psi(x)e^{-\frac{i}{\hbar}Et} \sim \frac{C}{\sqrt{p(x)}}e^{(i/\hbar)S(x,t)} \equiv A(x)e^{(i/\hbar)S(x,t)}.$$

Normalmente con este orden alcanza para los cálculos, ya que si seguimos agregando término en el desarrollo  $u(x) = u_0(x) + (\hbar/i)u_1(x) + (\hbar/i)^2u_2(x) + \dots$  y desarrollando la exponencia empezarán a aparecer contribuciones de orden  $\hbar$  en los coeficientes  $C_1, C_1'$  de las exponenciales en (81). Por ejemplo si hacemos  $u(x) = u_0(x) + (\hbar/i)u_1(x) + (\hbar/i)^2u_2(x)$  y reemplazamos en la ec.(75) el coeficiente de  $\hbar^2$  igualado a cero daría

$$u_0'u_2' + (1/2)u_1'^2(1/2)u_1''^2 = 0$$

de donde usando los  $u_0, u_1$  antes hallados podría despejarse

$$u_2(x) = \frac{1}{4}mF(x)/p(x)^3 + \frac{1}{8}m^2 \int F^2(x)/p(x)^5 dx, \quad F(x) = -dU(x)/dx = (p(x)/m)(dp(x)/dx)$$

según la definición de  $p$  en  $p(x) = \sqrt{2m(E - U(x))}$ . Cuando ponemos esta corrección en  $u$  obtendremos para la exponencial

$$\psi(x) = Ce^{i/\hbar[u_0 + (\hbar/i)u_1 + (\hbar/i)^2u_2]} = Ce^{(i/\hbar)u_0 + u_1 + (\hbar/i)u_2} \approx Ce^{(i/\hbar)u_0 + u_1} [1 - i\hbar u_2]$$

donde vemos que aparecen correcciones  $\hbar^1$  en los coeficientes y por lo tanto en  $\psi(x)$ .

Notemos que aparece una factor  $1/\sqrt{p(x)}$  en las funciones de onda y la probabilidad de que la partícula se encuentre entre  $x, x + dx$  es  $|\psi(x)|^2 dx \sim dx/p(x) \sim \frac{dt}{m}$  que *es proporcional tiempo que clásicamente estaría una partícula que viaja con impulso  $p$ , en una región de ancho  $dx$ .*

En las regiones donde la partícula clásicamente no puede acceder  $E < U \Rightarrow p(x) = i\sqrt{2m(U(x) - E)}$

$$\psi(x) \approx \frac{C_1}{\sqrt{p(x)}}e^{(-1/\hbar)\int p(x)dx} + \frac{C_1'}{\sqrt{p(x)}}e^{(1/\hbar)\int p(x)dx}, \quad p(x) = \sqrt{2m(U(x) - E)}, \quad (82)$$

que son exponenciales decrecientes si  $C_1' = 0$ .

## 4.2 Que pasa en los puntos de retorno?

Los puntos  $x = x_0 | U(x_0) = E$  en mecánica clásica se llaman puntos de retorno porque allí la partícula se detiene y vuelve, y si  $U(x) > E, \forall x > x_0$  (región II de la siguiente figura) esos puntos serían clásicamente inalcanzables. Si usamos la aproximación cuasiclásica (82) para describir la función de onda, hacemos  $C_1' = 0$  para tener una exponencial decreciente y tendremos

$$\psi(x) = \frac{C_{II}}{2\sqrt{p(x)}} e^{(-1/\hbar) \int p(x) dx}, p(x) = \sqrt{2m(U(x) - E)}, x > x_0 \quad (83)$$

donde el 2 abajo es por conveniencia y puede ser absorbido por  $C_{II}$ .

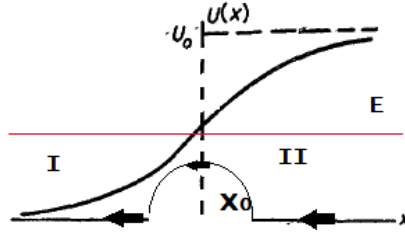


Figura 15: Conectando regiones I y II con aproximación cuasielástica

Ahora para la región donde  $U(x) < E, x < x_0$  (región I de la figura) tendremos onda incidente y reflejada con lo que la función de onda será como en (81) notemos que

$$\psi(x) \approx \frac{C_I}{\sqrt{p(x)}} e^{(i/\hbar) \int_{x_0}^x p(x') dx'} + \frac{C'_I}{\sqrt{p(x)}} e^{-(i/\hbar) \int_{x_0}^x p(x') dx'}, p(x) = \sqrt{2m(E - U(x))}, x < x_0 \quad (84)$$

hemos agregado constantes  $e^{\mp \frac{i}{\hbar} P(x_0)}$  donde  $P(x) = \int p(x) dx$  es la primitiva de  $p(x)$ , que se absorben en  $C_I, C'_I$  y usado que  $\pm (P(x) - P(x_0)) = \pm \int_{x_0}^x p(x') dx'$ .

Ahora, para poder relacionar los coeficientes en ambas regiones debemos conectar ambas soluciones en  $x_0$  pasando desde II a I donde  $p = 0$  (punto de retorno) y no es válida la aproximación cuasiclásica como vimos antes. *Deberíamos allí buscar soluciones exactas de la ecuación de Schrödinger para la forma de potencial específico.* Sin embargo, si consideramos  $\psi(z)$  función de variable compleja y para pasar desde II a I elegimos la semicircunferencia mostrada en la figura alejada del punto  $z = (x_0, 0)$ , camino donde *asumimos* se cumpliría la aproximación cuasielástica para la extensión al campo complejo y podríamos usar ese camino para conectar las soluciones. Explícitamente

$$\psi(x) = \frac{C_{II}}{2\sqrt{p(x)}} e^{(-1/\hbar) \int_{x_0}^x \sqrt{2m(U(x)-E)} dx}, x > x_0 \quad (85)$$

debe transformarse en la solución (84).

Ahora como  $e^{\pm iz} = e^{\pm i(x+iy)} = e^{\pm ix} e^{\mp y}$  cuando vamos transitando el plano complejo superior con  $y > 0$  es la exponencial creciente en  $y$  y la más importante, la otra decae, y por lo tanto nos quedamos con la contribución de  $C'_I$  y con ésta debemos conectar. Ahora, volviendo a (85) notemos que cuando vamos de  $x = x_0 + \epsilon = x_0 + \epsilon e^{i0}$  a  $x = x_0 - \epsilon = x_0 + \epsilon e^{i\pi}$  tenemos un cambio de fase en  $\pi$  y además

$$p(x_0 + \epsilon) = \sqrt{2m|U(x_0 - \epsilon) - E|} e^{i0} \rightarrow p(x_0 - \epsilon) = \sqrt{2m|U(x_0 - \epsilon) - E|} e^{i\pi} = \dots e^{i\pi/2}$$

donde hemos usado  $\sqrt{e^{i\pi}} = e^{i\pi/2}$ , este cambio se compensa en el exponente porque tambien en la integral  $dx$  cambia de fase, pero no en el coeficiente que tiene  $\frac{1}{\sqrt{p(x)e^{i\pi/2}}} = \frac{1}{\sqrt{p(x)}}e^{-i\pi/4}$

$$C_{II}/2p^{1/2} \rightarrow (C_{II}/2p^{1/2})e^{-i\pi/4} \equiv C'_I/2p^{1/2}$$

al conectar con la otra región.

De igual manera, si eligieramos en vez de la semicircunferencia en el plano complejo superior una en el plano inferior, ahora nos quedaríamos con  $C_I$  que tendría la exponencial decreciente y obtendriamos siguiendo un procedimiento similar

$$(C_{II}/2p^{1/2})e^{i\pi/4} \equiv C_I/2p^{1/2}.$$

Así, la solución para  $x < x_0$  (región I) quedaría teniendo en cuenta las relaciones anteriores entre  $C_I, C'_I$  y  $C_{II}$

$$\psi(x) \approx \frac{C_{II}}{2\sqrt{p(x)}}e^{(i/\hbar)\int_{x_0}^x p(x)dx+i\pi/4} + \frac{C_{II}}{2\sqrt{p(x)}}e^{-(i/\hbar)\int_{x_0}^x p(x)dx-i\pi/4} = Z + Z^* = 2ReZ \quad (86)$$

$$\begin{aligned} &= \frac{C_{II}}{\sqrt{p(x)}}\cos\left(\frac{1}{\hbar}\int_{x_0}^x p(x)dx + \pi/4\right) \\ &= \frac{C_{II}}{\sqrt{p(x)}}\cos\left(-\frac{1}{\hbar}\int_x^{x_0} p(x)dx + \pi/4\right) \equiv \frac{C_{II}}{\sqrt{p(x)}}\cos(\pi/2 - \alpha) \\ &= \frac{C_{II}}{\sqrt{p(x)}}\text{sen}\left(\frac{1}{\hbar}\int_x^{x_0} p(x)dx + \pi/4\right), x < x_0 \end{aligned} \quad (87)$$

Ahora, si se cumpliera que  $U(x) > E, \forall x < x_0$  (escalón de bajada) deberíamos hacer nuevamente en análisis pero obtendriamos

$$\psi(x) = \frac{C'_{II}}{2(2m(U(x) - E))^{1/4}}e^{-(1/\hbar)\int_x^{x_0} \sqrt{2m(U(x)-E)}dx}, x < x_0 \quad (88)$$

y conectar nuevamente en el campo complejo, con lo se obtendría

$$\psi(x) = \frac{C'_{II}}{\sqrt{p(x)}}\text{sen}\left(\frac{1}{\hbar}\int_{x_0}^x p(x)dx + \pi/4\right), x > x_0 \quad (89)$$

Por lo tanto y resumiendo nos quedaría, si tenemos *dos punto de retroceso a y b*

$$\psi(x) = \begin{cases} \frac{C'_{II}}{2\sqrt{p(x)}}e^{-(1/\hbar)\int_x^a p(x)dx} & , p(x) = p(x) = \sqrt{2m(U(x) - E)}, x < a \\ \frac{C'_{II}}{\sqrt{p(x)}}\text{sen}\left(\frac{1}{\hbar}\int_a^x p(x)dx + \pi/4\right) & , \\ \frac{C_{II}}{\sqrt{p(x)}}\text{sen}\left(\frac{1}{\hbar}\int_x^b p(x)dx + \pi/4\right) & , p(x) = \sqrt{2m(-U(x) + E)}, a < x < b \\ \frac{C_{II}}{2\sqrt{p(x)}}e^{(-1/\hbar)\int_b^x p(x)dx}, x > b & p(x) = p(x) = \sqrt{2m(U(x) - E)}, x > b \end{cases} \quad (90)$$

Si tenemos una barrera de potencial infinita en por ejemplo en  $x = b$  tendremos  $C_{II} = 0$ .

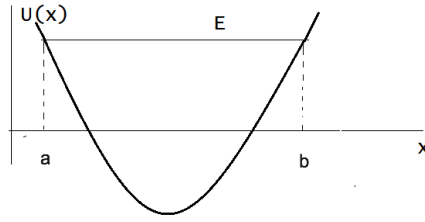


Figura 16: pozo de potencial región clásicamente accesible

### 4.3 Regla de cuantificación de Bohr-Sommerfeld

Hasta el momento hemos asumido un continuo para la energía  $E$ , pero los estados ligados como bien sabemos deben tener un conjunto discreto, veamos como es la cuantificación dentro de la aproximación cuasi-clásica. Consideremos un potencial que tenga clásicamente un dominio accesible  $[a, b]$  o sea que  $U(x) > E$  fuera de él. Por lo tanto  $a, b$  son puntos de retroceso, por ejemplo el pozo de la figura.

Clásicamente una partícula realizaría con una energía  $E$  un movimiento periódico con un período

$$T = 2 \int_a^b dx/v(x) = 2m \int_a^b dx/p(x)$$

siendo  $v$  y  $p$  la velocidad e impulso. Por ejemplo si clásicamente la partícula describe un movimiento oscilatorio armónico

$$x(t) = A \sin(\omega t + \alpha) \Rightarrow v(t) = A\omega \cos(\omega t + \alpha) \Rightarrow v(x) = \pm \omega \sqrt{1 - x^2}$$

Ya sabemos que fuera del intervalo  $[a, b]$  las soluciones son exponenciales decrecientes pero dentro ya vimos que haciendo la conexión ya sea en  $b$  o  $a$  podíamos hallar

$$\begin{aligned} \psi(x) &= \frac{C}{\sqrt{p(x)}} \text{sen} \left[ \frac{1}{\hbar} \int_a^x p(x) dx + \pi/4 \right], & x > a, \\ \psi(x) &= \frac{C'}{\sqrt{p(x)}} \text{sen} \left[ \frac{1}{\hbar} \int_x^b p(x) dx + \pi/4 \right], & x < b, \end{aligned} \quad (91)$$

donde  $p(x) = \sqrt{2m(U(x) - E)}$ , ahora si ambas ecuaciones deben coincidir en un valor de  $x$  se debe cumplir

$$\begin{aligned} \frac{C}{\sqrt{p(x)}} \text{sen} \left[ \frac{1}{\hbar} \int_a^x p(x) dx + \pi/4 \right] &= \frac{C'}{\sqrt{p(x)}} \text{sen} \left[ \frac{1}{\hbar} \int_x^b p(x) dx + \pi/4 \right] \\ \frac{C}{\sqrt{p(x)}} \text{sen} \left[ \frac{1}{\hbar} \int_a^x p(x) dx + \pi/4 + \frac{1}{\hbar} \int_x^b p(x) dx - \frac{1}{\hbar} \int_x^b p(x) dx \right] &= \frac{C'}{\sqrt{p(x)}} \text{sen} \left[ \frac{1}{\hbar} \int_x^b p(x) dx + \pi/4 \right] \\ C \text{sen} \left[ \frac{1}{\hbar} \int_a^b p(x) dx + \pi/4 - \frac{1}{\hbar} \int_x^b p(x) dx \right] &= C' \text{sen} \left[ \frac{1}{\hbar} \int_x^b p(x) dx + \pi/4 \right] \\ -C \text{sen} \left[ \frac{1}{\hbar} \int_x^b p(x) dx - \pi/4 + \pi/2 - \frac{1}{\hbar} \int_x^b p(x) dx - \pi/2 \right] &= C' \text{sen} \left[ \frac{1}{\hbar} \int_x^b p(x) dx + \pi/4 \right] \end{aligned}$$

ahora si suponemos  $C = (-1)^n C'$ ,  $n = 0, 1, 2, \dots$  deberá cumplirse para tener la igualdad, dado que  $-\text{sen}(\alpha - (n+1)\pi) = (-1)^n \text{sen}(\alpha)$ ,

$$1/\hbar \int_a^b p(x) dx + \pi/2 = (n+1)\pi, n = 0, 1, 2, \dots \quad (92)$$

que puede escribirse considerando el período completo de movimiento yendo de  $a$  hacia  $b$  y volviendo a  $a$  (sabemos que cuando vuelve tenemos  $-p(x)$  y la integral  $\int_a^b = -\int_b^a$ )

$$2 \int_a^b p(x) dx \equiv \oint p(x) dx = 2\pi\hbar(n + 1/2). \quad (93)$$

Esta condición determina en el caso cuasiclásico los estados estacionarios de una partícula y corresponde a la regla de cuantificación de Bohr-Sommerfeld de la teoría cuántica de los primeros tiempos.

Es importante notar que :

- Para determinar los puntos de retorno uno hace  $E = U(x)$  y por lo tanto las soluciones son funciones de la energía o sea  $a, b = f(E)$  entonces los límites en la integral (93) dependen de la energía y entonces tenemos una formula donde tenemos que despejar  $E = Q(n)$  que son los niveles de energía.
- $n$  es el número de ceros de la función de onda en el intervalo  $[a, b]$ . Esto se ve porque observando la primera de las eqs.(91) cuando  $x = a$  la fase del seno vale  $\pi/4$  cuando llegamos a  $b$  la fase es  $1/\hbar \int_a^b p(x) dx + \pi/4 = (n + 1/2)\pi + \pi/4 = (n + 3/4)\pi$  y cada vez que sumo  $\pi$  corto el eje  $x$  anulándose el seno y así tengo  $n$  ceros como lo habíamos visto antes en general para los estados discretos.
- La aproximación cuasiclásica será válida para  $n$  grande (energía grande) cuando tenemos muchos ceros y por lo tanto la longitud de onda de de Broglie es pequeña.
- Cuando estudiamos la normalización de la función de onda tendremos (usando la primera de la (91) y suponiendo que la parte oscilatoria para muchos ceros es pequeña)

$$\int_a^b |\psi(x)|^2 dx = C^2 \int_a^b \text{sen}^2 \left[ 1/\hbar \int_a^x p(x) dx + \pi/4 \right] / p(x) dx \approx \frac{1}{2} C^2 \int_a^b 1/p(x) dx \equiv \pi C^2 / 2\omega = 1,$$

$$T \equiv \int_a^b 1/p(x) dx, \omega = 2\pi/T$$

donde aparece  $T$  el período clásico. Allí, debido a que al ser  $n$  alto la función seno al cuadrado oscila rápidamente hemos aproximado por su valor medio  $1/2$ . Finalmente, la función de onda normalizada queda

$$\psi(x) = \sqrt{\frac{2\omega}{\pi v(x)}} \text{sen} \left[ 1/\hbar \int_a^x p(x) dx + \pi/4 \right], \quad x > a, \quad (94)$$



- Como a la integral  $\oint p(x)dx$  se la puede considerar un área en el espacio de las fases y para  $n$  grande  $\oint p(x)dx/n = 2\pi\hbar$  podemos pensar que a cada estado (dado que  $n$  es el número de estados) le corresponde un área  $2\pi\hbar$ .
- Cuando  $n$  grande  $\Delta E = E_{n+1} - E_n \ll E_n$  y podemos hacer un desarrollo

$$\oint p(x)dx(E_{n+1}) - \oint p(x)dx(E_n) \approx \Delta E \oint \frac{\partial p(x)}{\partial E} dx = \Delta E \oint \frac{dx}{v(x)} = \Delta E \times T = 2\pi\hbar$$

de donde

$$\Delta E = \hbar\omega \quad (95)$$

cada frecuencia se calcula para cada nivel y son distintas, pero para un conjunto de niveles próximos las podemos considerar iguales a sí obtenemos uno conjunto de niveles equidistantes.

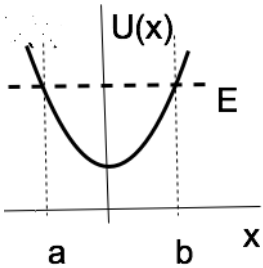
### 4.3.1 Ejemplo 1

Si queremos determinar los niveles de energía del oscilador armónico usando WKB tendríamos que hacer primeramente

$$\int_a^b p(x)dx = \pi\hbar(n + 1/2), \quad U(x) = \frac{1}{2}m\omega^2x^2$$

donde  $a, b$  son los puntos de retorno solución de

$$p(x) = \sqrt{2m(E - \frac{1}{2}m\omega^2x^2)} = 0 \Rightarrow -a = b = \sqrt{\frac{2E}{m\omega^2}},$$



si aplicamos la regla de cuantización de Bohr-Sommerfeld tendremos sacando un factor  $m\omega$  de la raíz

$$\begin{aligned} m\omega \int_{-b}^b \sqrt{\frac{2E}{m\omega^2} - x^2} dx &= m\omega \int_{-b}^b \sqrt{b^2 - x^2} dx = \pi\hbar(n + 1/2) \\ &\stackrel{x=b\cos\theta}{=} m\omega \left[ \int_{\pi}^0 \sqrt{b^2 - b^2\cos^2\theta} (-) b\sin\theta d\theta \right] \\ &= m\omega b^2 \int_0^{\pi} \sin\theta \sin\theta d\theta = m\omega b^2 \int_0^{\pi} \frac{1 - \cos 2\theta}{2} d\theta = \frac{m\omega b^2 \pi}{2} \\ \pi\hbar(n + 1/2) &= \frac{m\omega b^2 \pi}{2} = \frac{\cancel{m\omega} \sqrt{2E}}{\cancel{m\omega}} \pi \Rightarrow E_n = \hbar\omega(n + 1/2), \end{aligned}$$

que es el espectro hallado antes en forma exácta al resolver con el desarrollo en serie. Si ahora queremos analizar las funciones de onda debemos calcular

$$\begin{aligned}\psi(x) &= \frac{C_{II}}{\sqrt{p(x)}} \text{sen}\left(\frac{1}{\hbar} \int_x^b p(x) dx + \pi/4\right), \\ p(x) &= m\omega\sqrt{b^2 - x^2}, \int_x^b p(x) dx = m\omega b^2 \left(\frac{\theta}{2} - \frac{\text{sen}2\theta}{4}\right) \Big|_0^{\cos^{-1}(x/b)}, \\ \text{sen}2\theta &= 2\text{sen}\theta\cos\theta = 2\sqrt{1 - \cos^2\theta}\cos\theta, \\ \int_x^b p(x) dx &= m\omega b^2 \left(\frac{\cos^{-1}(x/b)}{2} - \frac{\sqrt{1 - (x/b)^2}(x/b)}{2}\right) \\ \psi_n(x) &= \frac{C_{II}}{\sqrt{2mE_n} [1 - (x/b_n)^2]^{1/4}} \text{sen} \left[ \frac{1}{\hbar} m\omega b_n^2 \left(\frac{\cos^{-1}(x/b_n)}{2} - \frac{\sqrt{1 - (x/b_n)^2}(x/b_n)}{2}\right) + \pi/4 \right], x < b_n, \\ b_n &= \frac{2\hbar\omega(n + 1/2)}{m\omega^2},\end{aligned}$$

donde si  $x/b \ll 1$  (lejos de los puntos de retorno) tendremos

$$\psi_n(x) \approx \frac{C_{II}}{\sqrt{2mE_n}} \text{sen} \left( \frac{\omega\hbar(n + 1/2)^2\pi}{m\omega^2} + \pi/4 \right) \left[ 1 - \frac{(x/b_n)^2}{4} \right].$$

### 4.3.2 Ejemplo2

Hallar los niveles de energía usando la aproximación semiclásica para una partícula de masa  $m$  en el potencial

$$U(x) = mg|x|$$

que correspondería a la energía potencial gravitatoria cuando  $x > 0$  que sería la altura en la proximidad de la superficie terrestre. Los puntos de retorno se obtienen de  $E = mgx \implies a \equiv x_1 = -E/mg, b \equiv x_2 = E/mg$ .

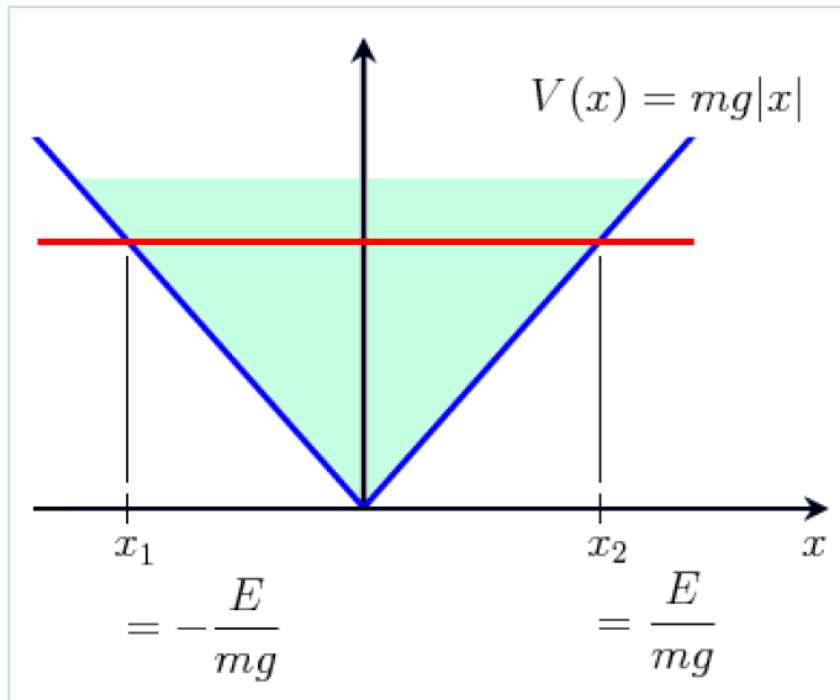


Figura 17: pozo triangular

1. Veamos la cuantificación de la energía.

$$\begin{aligned}
 2 \int_a^b p(x) dx &= 2 \int_{-E/mg}^{E/mg} \sqrt{2m(E - |x|)} dx = 4 \int_0^{E/mg} \sqrt{2m(E - x)} dx = 2\pi\hbar(n + 1/2) \\
 \int_0^{E/mg} \sqrt{(E - x)} dx &= (\pi\hbar/2\sqrt{2m})(n + 1/2) \\
 \frac{-2}{3mg} (E - mgx)^{3/2} \Big|_0^{E/mg} &= (\pi\hbar/2\sqrt{2m})(n + 1/2) \\
 E^{3/2} &= 3mg/2 (\pi\hbar/2\sqrt{2m})(n + 1/2) = \frac{3\sqrt{mg}\pi}{4} \hbar(n + 1/2) \\
 E_n &= \left( \frac{9mg^2\pi^2}{16} \hbar^2 \right)^{1/3} (n + 1/2)^{2/3}
 \end{aligned}$$

- Como el potencial es simétrico tendremos funciones pares e impares como solución y como las impares tiene un número impar de ceros (siempre uno en el origen) corresponden a los  $n$  impares.

- Dichas funciones dan cero en el origen y con la función entre  $x = 0, x = E_n/mg$  se puede modelar el problema de una pelota perfectamente elástica que choca contra el piso.

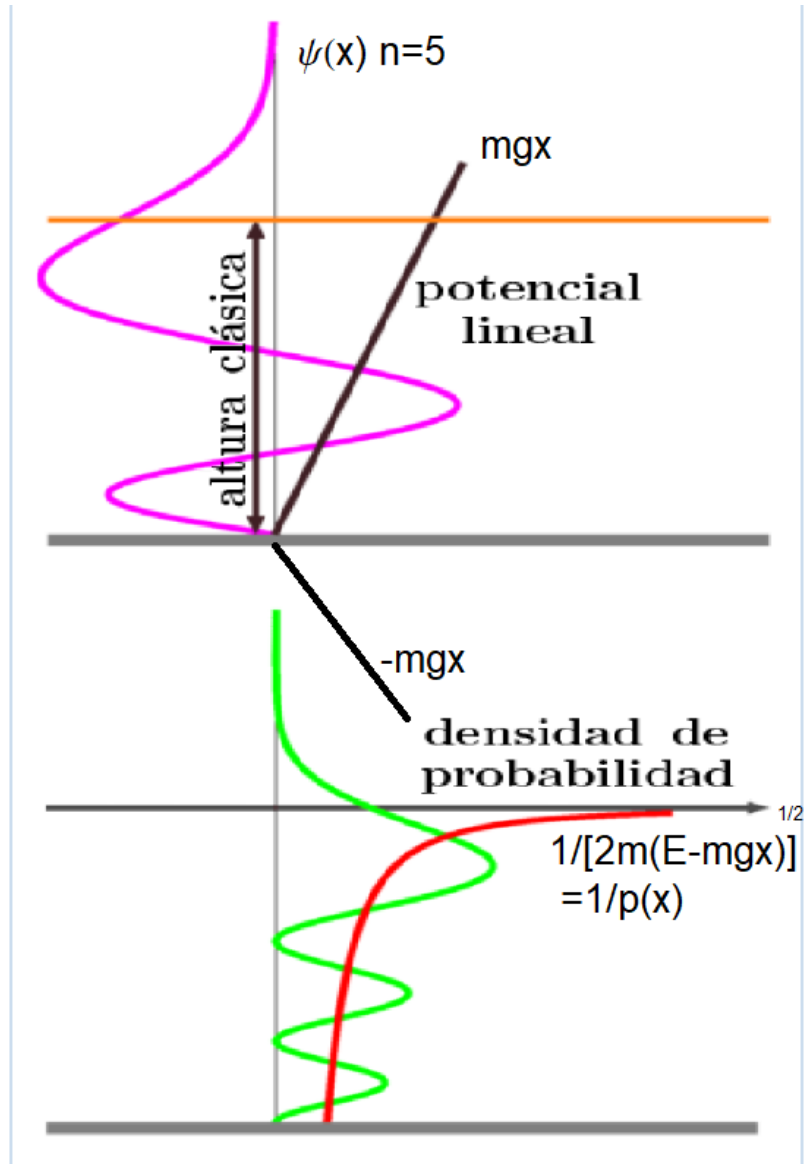


Figura 18: pelota rebotando elásticamente